

объединенный
институт
ядерных
исследований
дубна

P6-85-813

Н.А.Бонч-Осмоловская, В.А.Морозов,
В.И.Стегайлов

ВРЕМЕНА ЖИЗНИ
ВОЗБУЖДЕННЫХ СОСТОЯНИЙ ^{171}Yb

Направлено на 36-е Совещание по ядерной спектроскопии и структуре ядра, Харьков

1985

Среди возбужденных состояний ^{171}Yb /рис.1/ известны два изомера, распадающиеся соответственно со временем $5,25$ /24/ мс /уровень $95,28$ кэВ $7/2^+$ [633]/ и $265(20)$ нс (уровень $122,41$ кэВ $5/2^-$ [512])¹. Кроме того, в ряде работ были измерены времена жизни ротационных состояний полосы $1/2^-$ [521]: $T_{1/2} = 0,80(5)$ нс² / $(3/2^-$, $66,74$ кэВ) и $T_{1/2} = 1,64(16)$ нс ($5/2^-$, $75,89$ кэВ)¹.

Для уровня $66,74$ кэВ приведено средневзвешенное значение времени жизни, определенное в ²/ по данным экспериментальных работ. Нами были впервые проведены измерения времени жизни состояний $835,09$ кэВ $7/2^-$ [514] и $167,66$ кэВ $9/2^+$, $7/2$ [633] /рис.1/.

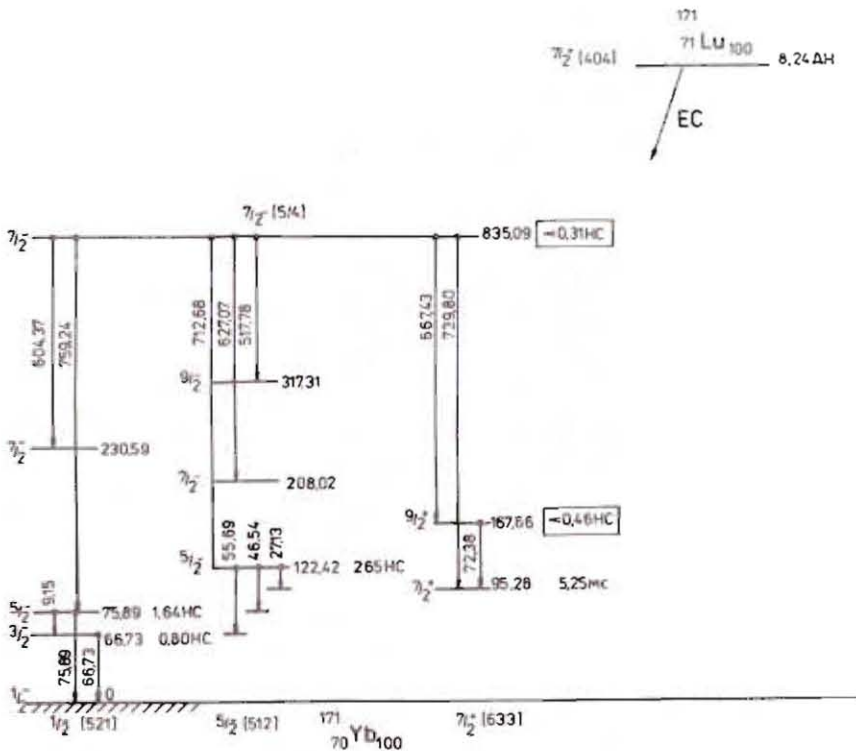


Рис.1. Фрагмент схемы распада ^{171}Lu .

ЭКСПЕРИМЕНТ

Радиоактивный источник ^{171}Lu ($T_{1/2} = 8,24$ дн.) содержал примесь изотопа ^{172}Lu ($T_{1/2} = 6,70$ дн.), активность которого составляла примерно 10% от активности ^{171}Lu . Измерения проводились на спектрометре $e^- - \gamma$ -совпадений в режиме трехмерного анализа $E_e - T - E_\gamma$ с использованием сцинтилляционного спектрометра для регистрации электронов /фотоумножитель XP2020Q со сцинтиллятором NE-104/ и планарного полупроводникового детектора типа HPGe- для регистрации γ -излучения³. Планарный детектор имел объем 1,2 см³ и временное разрешение $2r_0 = 0,95$ нс при регистрации совпадений $E_\gamma = 1330$ кэВ и $E_\beta = 50 \pm 300$ кэВ на источнике ^{60}Co . Рабочее напряжение на детекторе составляло 700 В.

Измерения проводились методом задержанных совпадений. В канале "СТАРТ" использовался сцинтилляционный счетчик, в канале "СТОП" - полупроводниковый. Порог регистрации электронов не превышал 20 кэВ. Спектры $e^- - \gamma$ -совпадений записывались на магнитную ленту HP-2116. При обработке экспериментальных результатов для получения кривой задержанных совпадений, относящейся к исследуемому нами возбужденному состоянию ядра, на интегральном спектре совпадений выбиралось энергетическое "окно" с соответствующим фотопиком. Фоновый временной спектр, вычитаемый из кривой задержанных совпадений, получался выделением энергетического "окна" справа от данного фотопика. Эта процедура позволила также определить и вклад от задержанных совпадений ^{172}Lu , при распаде которого возбуждается в ^{172}Yb состояние 1172 кэВ. Период полураспада этого уровня оказался равным $T_{1/2} = 7,8(4)$ нс. Кроме того, был определен период полураспада состояния 78,7 кэВ в ^{172}Yb $T_{1/2} = 1,62(7)$ нс. Наши результаты хорошо согласуются с литературными данными 8,08(13) нс и 1,67(3) нс соответственно⁴.

Измерения периода полураспада состояния 835 кэВ были осуществлены за счет регистрации совпадений γ -перехода 739,8 кэВ с электронами Оже. Так как этот переход идет на изомерный уровень 95 кэВ с $T_{1/2} = 5,25$ мс, то времена жизни нижележащих состояний не могут внести в спектр задержанных совпадений какого-либо вклада, отличного от фона случайных совпадений. Это позволяет утверждать, что правый склон кривой задержанных совпадений /рис.2, пик γ 739 кэВ/ определяет верхнюю границу периода полураспада состояния 835 кэВ. Поскольку аппаратурная крутизна склона задержанных совпадений $T_{1/2} = 0,31(3)$, то $T_{1/2}(835 \text{ кэВ}) < 0,31$ нс.

Гамма-лучи 667,4 кэВ, разряжающие тот же уровень, дают совпадения не только с электронами Оже, но и с электронами внутренней конверсии перехода 72,4 кэВ. Это обстоятельство позволяет по левому склону кривой задержанных совпадений /рис.2, пик γ 667 кэВ/ получить верхнюю оценку периода полураспада пер-

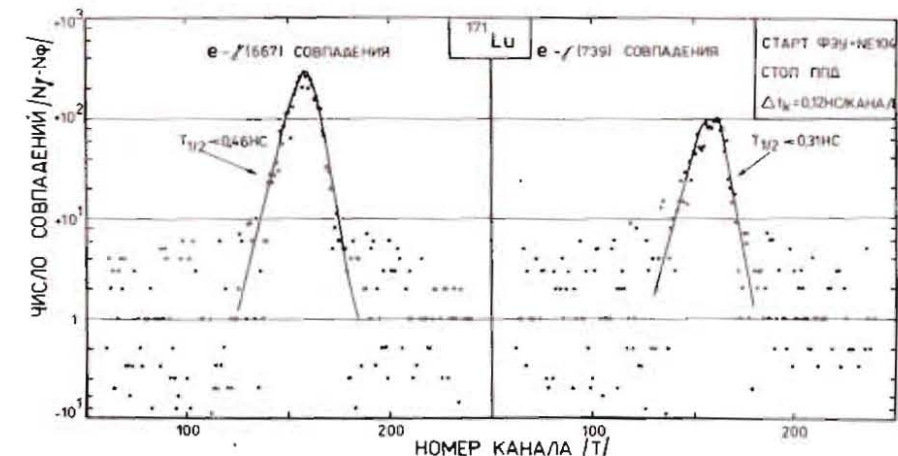


Рис.2. Спектры задержанных совпадений при распаде ^{171}Lu .

вого ротационного состояния $9/2^+$, $7/2[633]$ 167,7 кэВ ($T_{1/2} < 0,46$ нс), следующую из периода полураспада склона кривой задержанных совпадений $T_{1/2} = 0,46(4)$ нс.

На основе полученных оценок времени жизни уровней 835 и 167 кэВ были определены нижние пределы приведенных вероятностей γ -переходов, разряжающих эти состояния /табл.1/. В этой же таблице помещены также и приведенные вероятности γ -переходов с уровнями 66, 75 и 122 кэВ, время жизни которых было известно ранее^{1,2}. Значения параметров смешивания δ' ($M1 + E2$)-переходов, а также значения полных коэффициентов внутренней конверсии / a ^{полн.} / γ -переходов были взяты из сборника¹. Следует отметить, что значения δ в табл.1 для переходов, разряжающих уровень 835 кэВ, весьма близки к значениям δ , полученным в недавно вышедшей работе⁵:

$$\delta(\gamma 517) = 0,54^{+0,18}_{-0,11}, \quad \delta(\gamma 627) = 0,76^{+0,14}_{-0,10}.$$

$$\delta(\gamma 712) = -1,52(16), \quad \delta(\gamma 759) = 2,2^{+5,3}_{-0,8}.$$

Для определения фактора ветвления f γ -лучей /табл.1/, идущих с уровня 835 кэВ, были использованы данные об их интенсивностях, приведенные в работе⁶. Фактор ветвления мягких γ -лучей, разряжающих уровни 75 и 122 кэВ, определялся как с учетом результатов работ⁷⁻⁹, в которых измерялись спектры конверсионных электронов при распаде ^{171}Lu , так и с учетом анализа этих данных, проведенного Б.С.Джелеповым².

Таблица 1

Приведенные вероятности γ-переходов в ^{171}Yb

нав.	кои.	$21^{\pi}\text{K}[\text{Nh}_z\Lambda]$	E_{γ} keV	шумт. δ эксн.	α попн.	f	B(σL) эксп.		Теория	
							MT (μ_N^2)	$[2, \text{EI}(\epsilon^2 b^2; \text{EI})$ $\epsilon^2 b, \epsilon^2 b)$	$\epsilon_{eff}(N)$	$Q_o(0)$
1	2	3	4	5	6	7	8	9	10	12
3,1/52I/-	17,I/52I/	66 MI+EI	+0,69(2)	12,95(7)	1	8,0640 ⁻³	1,23	0,69	0	5,96
5,-/52I/-	17,I/52I/	75 EI	9,723	0,74		0,96	0,69	0,05	0,1	7,32
5,1/52I/-	3,I/52I/	9 MI+EI	0,020(6)	163(19)	0,26	4,45·10 ⁻²	0,30	0,20	0	8,67
5,5/51I/-	3,I/52I/	55 MI+EI	+0,056(6)	3,244(23)	0,57	1,16·10 ⁻⁴	1,66·10 ⁻⁴	9,54·10 ⁻⁵	0	5,96
5,7,I/52I/-	5,7,I/52I/	46 MI+EI	0,128(9)	6,67(19)	0,15	2,66·10 ⁻⁵	2,85·10 ⁻⁴	5,37·10 ⁻⁵	0	5,96
7,7/633/-	7,7/633/-	27 EI	2,279	0,28		6,90·10 ⁻⁸	2,96·10 ⁻⁸	1,00·10 ⁻⁴	0,1	7,32
								1,59·10 ⁻⁴	0,2	6,67
								2,83·10 ⁻⁴	0,2	
								2,70	0,2	

Таблица 1 / продолжение/

нав.	кои.	$21^{\pi}\text{K}[\text{Nh}_z\Lambda]$	E_{γ} keV	шумт. δ эксн.	α попн.	f	B(σL) эксп.		Теория	
							MT (μ_N^2)	$[2, \text{EI}(\epsilon^2 b^2; \text{EI})$ $\epsilon^2 b, \epsilon^2 b)$	$\epsilon_{eff}(N)$	$Q_o(0)$
9,7/633/-	7,7/633/-	72 MI+EI	-0,28(1)	9,043(15)	I	3,35·10 ⁻⁴	1,1·10 ⁻²	>0,43	1,27	12
									1,92	0
									2,70	6,23
									0,1	7,65
									0,2	9,07
5,7,I/52I/	759 MI+EI	2,1 ⁻² ; 5 ⁻⁶	$\pm 2,1\cdot 10^{-3}$							
7,7/633/-	739 EI		$2,68\cdot 10^{-3}$							
5,5/51I/	712 MI+EI	+1,54(13)	$1,05(6)\cdot 10^{-2}$							
9,7/633	667 EI		$3,31\cdot 10^{-3}$							
7,5/51I/	627 MI+EI	+1,00(17)	$1,70(13)\cdot 10^{-2}$							
7,7,I/52I/	604 MI		$2,60\cdot 10^{-2}$							
9,7,5/51I/	517 MI+EI	+0,52(15)	$3,39(22)\cdot 10^{-2}$							
			0,0057							

РАСЧЕТЫ

Структура неротационных состояний ^{171}Yb и приведенные вероятности электрических E1-, E2-переходов были рассчитаны по программе "ELTRANS" /10/, в рамках квазичастично-фононной модели /11/. Параметры потенциала Саксона-Вудса были использованы из работы /12/, величины квадрупольной и гексадекапольной деформации из расчетов /13/. Было учтено смешивание состояний с одинаковыми K^{π} , возникающее вследствие взаимодействия квазичастиц с фононами. Кроме того, была проведена процедура последовательного учета принципа Паули в компонентах волновой функции "квазичастица + фонон", что ведет к подавлению фононного компонента в случае нарушения принципа Паули /14/. В расчетах приведенных вероятностей E2-, E1-переходов учитывался вклад как одиночастичных, так и вибрационных компонентов состояний. В табл.1 даны рассчитанные нами приведенные вероятности электрических переходов/E2, E1/ в ^{171}Yb . Значения $B(E2)_{\text{теор.}}$ даны для трех значений параметра эффективного заряда $e_{\text{eff}}(N)$ ¹⁰, и для каждого значения $e_{\text{eff}}(N)$ из величин приведенных вероятностей $B(E2)$ внутриполосных переходов по программе "ELTRANS" рассчитывается величина квадрупольного момента Q_0 для состояний данной полосы. При расчете приведенных вероятностей E1-переходов параметр эффективного заряда принимает одно значение $e_{\text{eff}}(N) = -\frac{Z}{A}$ /для нечетно-нейтронного ядра/ и $e_{\text{eff}} = \frac{N}{A}$ /для нечетно-протонного ядра/ /11/, где Z, N и A - соответственно число протонов, нейtronов и массовое число четно-четного остова.

В табл.2 представлены энергии и структура ряда неротационных состояний ^{171}Yb , с которыми связаны анализируемые нами переходы, а также структура тех неротационных уровней, с которыми смешиваются эти состояния.

АНАЛИЗ РЕЗУЛЬТАТОВ

Полоса $1/2^-$ [521]

Для приведенных вероятностей ротационных E2-переходов полосы основного состояния наблюдается наилучшее согласие теоретических значений с экспериментальными при величине квадрупольного момента $7,32\text{b}^4$ /табл.1/, которая близка к известной величине $Q_0 = 7,93\text{b}^4$ /4/. В наших расчетах не учитывалось взаимодействие Кориолиса, но, очевидно, что для нижних состояний полосы $1/2^-$ [521] влияние его весьма слабо, так как значения $B(E2)$, полученные в работе /5/, где это взаимодействие учитывалось, практически совпадают с нашими результатами: $B(E2)=1,18\text{e}^2\text{b}^2$ / ≈ 66 кэВ/, $B(E2)=1,11\text{e}^2\text{b}^2$ / ≈ 75 кэВ/ и $B(E2)=0,32\text{e}^2\text{b}^2$ / ≈ 9 кэВ/.

Таблица 2

Энергии и структура неротационных состояний ^{171}Yb

K^{π}	E _{ур.} (кэВ) эксп. теор.	Структура		
		0	0	521 \downarrow 91%; 521 \uparrow + Q(22) 3,7%; 523 \downarrow + Q(22) 2,7% 5101 0,2%; 512 \uparrow + Q(22) 0,3%
$1/2^-$	(954)	480		5101 51%; 512 \uparrow + Q(22) 39%; 512 \downarrow + Q(22) 7,1% 521 \downarrow 0,4%
	-	-180		512 \uparrow 88%; 510 \uparrow + Q(22) 7%; 624 \uparrow + Q(32) 2,0% 523 \downarrow 0,1%
$5/2^-$	-	1000		523 \downarrow 93%; 521 \downarrow + Q(22) 2,9%; 642 \downarrow + Q(30) 0,9% 512 \uparrow 0,1%
	835	535		514 \downarrow 89%; 512 \downarrow + Q(22) 7,0%; 633 \downarrow + Q(30) 0,4% 503 \uparrow 1,5%
$7/2^-$	1377	1700		503 \uparrow 75%; 501 \uparrow + Q(22) 10%; 615 \downarrow + Q(32) 3,0% 514 \downarrow 3%; 624 \downarrow + Q(30) 3,2%; 505 \uparrow + Q(22) 1,5%
$7/2^+$	95	86		633 \uparrow 95%; 651 \uparrow + Q(22) 1,5%; 521 \uparrow + Q(32) 1,2%

Состояние $5/2^-$ [512]

Как видно из табл.1, для переходов с полосы $5/2^-$ [512] получено вполне удовлетворительное согласие рассчитанных теоретически значений приведенных вероятностей с экспериментальными. Расхождение между теми и другими не более, чем в два раза. Следует отметить, что учет весьма малых примесей квадрупольных компонентов играет весьма важную роль при определении $B(E2)$ -неротационных переходов. Так, например, в структуре основного состояния $1/2^-$ [521] вибрационная примесь $512\uparrow + Q(22)$ составляет всего 0,3% /табл.2/. При другом варианте расчета /например, если не учитывать смешивание состояний с одинаковыми K^{π} /, доля компонента $512\uparrow + Q(22)$ падает на порядок, и соответственно примерно на порядок становятся более заторможенными переходы с уровня $5/2^-$ [512] на уровень полосы основного состояния / ≈ 55 и ≈ 46 кэВ/, что приводит к расхождению с экспериментом. Что касается перехода E1 $5/2^-$ [512] \rightarrow $7/2^+$ [633] / ≈ 27 кэВ/, то Б.А. Аликовым с сотрудниками /16/ отмечалось, что при расчетах в рамках неadiабатической модели с учетом взаимодействия Кориолиса /но без учета взаимодействия квазичастиц с фононами/ в ве-

роятность перехода $5/2^-$ [512] \rightarrow $7/2^+$ [633] может внести заметный вклад компонент $5/2^-$ [512] \rightarrow $5/2^+$ [642], возникающий вследствие взаимодействия Кориолиса. Однако значение приведенной вероятности γ 27 кэВ $B(E1) = 11 \cdot 10^{-8}$ е²б., полученное авторами^{15/}, примерно вдвое, как и наше значение $B(E1)$ /табл.1/, отличается от экспериментального. Следует ожидать, что наиболее корректные расчеты приведенных вероятностей $E1$ -переходов должны включать как смешивание состояний с разными K за счет взаимодействия Кориолиса, так и смешивание состояний с одинаковыми K за счет взаимодействия квазичастиц с фононами.

Состояние $7/2^+$ [633]

Как упоминалось выше, в ^{171}Yb имеется изомерное состояние 95 кэВ $7/2^+$ [633] /рис.1/. Данный уровень разряжается γ -переходами на уровни полосы основного состояния. Причем странным фактом является то, что при сильном K -запрете / $\Delta K=3$ / и запрете по асимптотическим квантовым числам мультипольность перехода $7/2^+$, $7/2$ [633] \rightarrow $5/2^-$ [521] / γ 19 кэВ/ является практически чистой $E1$. Одним из объяснений этого факта может быть вид структуры состояния $7/2$ [633], содержащей октупольный компонент 521 + Q(32) /табл.2/.

Значение экспериментальной приведенной вероятности ротационного перехода $9/2^+ 7/2$ [633] \rightarrow $7/2^+ 7/2$ [633] / γ 72 кэВ/, полученное нами из оценки времени жизни уровня $9/2^+$ 167 кэВ /табл.1/, не находится в противоречии со значениями, рассчитанными теоретически.

Состояния $7/2^-$ [514], $7/2^-$ [503]

Теоретических значений $B(E1)$ для переходов с состояния $7/2^-$ [514] получено всего два: для γ 739 кэВ и γ 667 кэВ /табл.1/. Расчеты приведенных вероятностей K -запрещенных $E2$ -переходов не проводились, поскольку в основе используемой нами теории отсутствуют предпосылки, которые разрешали бы подобные переходы. Также пока не представляется возможным рассчитывать приведенные вероятности $E2$ -переходов при изменении $K_{\text{ нач.}}$ и $K_{\text{ кон.}}$ на единицу / γ 712, γ 667, γ 517 кэВ, табл.1/, поскольку в нашем подходе не включено корректное рассмотрение возбуждений $K''=1^+$ в четно-четном остове. Для переходов $E1$ 739 и 667 кэВ, ввиду полученной только оценки $B(E1)_{\text{эксп.}}$, можно сказать, что противоречий с теорией не наблюдается.

Что касается структуры состояний $7/2^-$ [514] и $7/2^-$ [503], то их взаимное смешивание проявляется весьма заметно /табл.2/. Состояние $7/2^-$ [503], как более высоколежащее, более фрагментировано, однако степень одночастичного компонента в нем велика. Этим может быть объяснено более интенсивное заселение уровня 1377 кэВ $7/2^-$ при β -распаде ^{171}Yb по сравнению с другими состояниями со спинами $7/2^-$ и энергией выше 1 МэВ. Действительно,

β -переход $7/2^+$ [404] \rightarrow $7/2^-$ [503] является 1-го порядка запрещения, незадержанным, что не противоречит значению $\log ft = 7,5^{+6/-}$ для β -перехода на уровень 1377 кэВ. Другие же β -переходы на высоколежащие состояния со спином $7/2^-$ должны быть отнесены к переходам 1-го порядка, задержанным, поскольку для них значения $\log ft = 9,1^{+9,9/-}$.

ВЫВОДЫ

Применение полупроводниковых планарных детекторов, изготовленных из сверхчистого германия - ИРДе и обладающих высоким временным разрешением, позволило существенно расширить область исследования времен жизни возбужденных состояний ядер методом задержанных совпадений в широком энергетическом диапазоне. При этом информация, получаемая даже в виде оценок времен жизни возбужденных состояний ядра, становится значимой, так как при достигнутом временном разрешении спектрометра совпадений на базе полупроводникового и сцинтилляционного детектора появляется возможность установить изомерный характер уровня, начиная с предела $T_{1/2} < 1$ нс.

На основе полученных нами оценок времен жизни уровней $T_{1/2} < 0,31$ нс /ур. 835 кэВ/ и $T_{1/2} < 0,46$ нс /ур. 167 кэВ/ и известных из литературы времен жизни ряда других состояний^{1,2/} рассчитаны приведенные вероятности электромагнитных переходов и проведен сравнительный анализ со значениями приведенных вероятностей, полученными теоретически в рамках квазичастиочно-фонной модели с учетом принципа Паули и смешивания состояний с одинаковыми K . Как оказалось, вклад вибрационного компонента в вероятность межполосных $E2$ -переходов играет доминирующую роль. Что касается вероятностей дипольных $E1$ -переходов, то было бы полезным дальнейшее развитие теории, которая учитывала бы смешивание состояний как за счет взаимодействия Кориолиса, так и за счет взаимодействия квазичастиц с фононами.

В заключение мы выражаем свою признательность Б.А.Аликову и В.О.Нестеренко за плодотворную дискуссию, а также Э.Худайбердиеву за помощь в работе и В.В.Кузнецова за ряд ценных замечаний.

ЛИТЕРАТУРА

1. Nucl.Data Sheets, 1984, 43, p.127.
2. Джелепов Б.С. В кн.: Лекции X Всесоюзной школы по ядерной физике. ч.1, Изд-во "ФАН", Ташкент, 1983, с.3.
3. Морозов В.А. и др. ОИЯИ, 13-34-213, Дубна, 1984.
4. Схемы распада радиоактивных ядер $A = 171 \div 174$ /под ред. Б.С.Джелепова /, "Наука", Л., 1977.

5. Kraćikova T.I. et al. Nucl.Phys., 1985, A440, p.203.
6. Бацев С., Бонч-Осмоловская Н.А. Изв. АН СССР, сер.физ. 1981, 45, с.697.
7. Артамонова К.П. и др. Изв. АН СССР, сер.физ., 1975, 39, с.523.
8. Kaye G. Nucl.Phys., 1966, 86, p.241.
9. Harmatz B., Handley T.H., Mihelich J.W. Phys.Rev., 1960, 119, p.1345.
10. Bastrukov S.I., Nesterenko V.O. In: Proc.Int.Symp. In-Beam Nucl.Spectr. Hungary, 1984, vol.1, p.90.
11. Соловьев В.Г. Теория сложных ядер. "Наука", М., 1971.
12. Гареев Ф.А. и др. ЭЧАЯ, 1973, 4, вып.2, с.357.
13. Аликов Б.А. и др, ОИЯИ, 4-83-535, Дубна, 1983.
14. Soloviov V.G. et al. Z.Phys.A. 1983, 309, p.353.
15. Аликов Б.А. и др. В кн.: Тезисы докладов XXXVI Совещания по ядерной спектроскопии и структуре ядра. "Наука", Л., 1985, с.113.

НЕТ ЛИ ПРОБЕЛОВ В ВАШЕЙ БИБЛИОТЕКЕ?

Вы можете получить по почте перечисленные ниже книги,
если они не были заказаны ранее.

Д17-81-758	Труды УШ Всесоюзного совещания по ускорителям заряженных частиц. Протвино, 1982 /2 тона/	11 р. 40 к.
Р18-82-117	Труды II Международного симпозиума по избранным проблемам статистической механики. Дубна, 1981.	5 р. 40 к.
Д2-82-568	Труды IV совещания по использованию новых ядерно-физическисх методов для решения научно-технических и народнохозяйственных задач. Дубна, 1981.	3 р. 80 к.
Д9-82-664	Труды совещания по исследованиям в области релятивистской ядерной физики. Дубна, 1982.	1 р. 75 к.
Д3.4-82-704	Труды совещания по коллективным методам ускорения. Дубна, 1982.	3 р. 30 к.
Д11-83-511	Труды совещания по системам и методам аналитических вычислений на ЭВМ и их применению в теоретической физике. Дубна, 1982.	2 р. 50 к.
Д7-83-644	Труды Международной школы-семинара по физике тяжелых ионов. Алушта, 1983.	6 р. 55 к.
Д2.13-83-689	Труды рабочего совещания по проблемам излучения и детектирования гравитационных волн. Дубна, 1983.	2 р. 00 к.
Д13-84-63	Труды XI Международного симпозиума по ядерной электронике. Братислава, Чехословакия, 1983.	4 р. 50 к.
Д2-84-366	Труды 7 Международного совещания по проблемам квантовой теории поля. Алушта, 1984.	4 р. 30 к.
Д1.2-84-599	Труды VII Международного семинара по проблемам физики высоких энергий. Дубна, 1984.	5 р. 50 к.
Д17-84-850	Труды III Международного симпозиума по избранным проблемам статистической механики. Дубна, 1984. /2 тона/	7 р. 75 к.
Д10.11-84-818	Труды V Международного совещания по проблемам математического моделирования, программированию и математическим методам решения физических задач. Дубна, 1983	3 р. 50 к.
	Труды IX Всесоюзного совещания по ускорителям заряженных частиц. Дубна, 1984 /2 тона/	13 р.50 к.

Рукопись поступила в издательский отдел
15 ноября 1985 года

Заказы на упомянутые книги могут быть направлены по адресу:
101000 Москва, Главпочтamt, п/я 79
Издательский отдел Объединенного института ядерных исследований